

Р.М. Пелешак, Н.Я. Кулик

Вплив неоднорідно-деформованої гетеромежі квантова точка – матриця на квантово-розмірні стани зарядів

Дрогобицький державний педагогічний університет ім. І. Франка, вул. Стрийська 3, м. Дрогобич, 82100, e-mail: delenkonadia@mail.ru

З врахуванням рівняння механічної рівноваги проведено розвиток теорії збурення форми напруженої гетеромежі "квантова точка-матриця". В рамках моделі деформаційного потенціалу з врахуванням збурення поверхні квантової точки теоретично проаналізовано вплив неоднорідно-деформованої гетеромежі "квантова точка-матриця" на квантові стани зарядів, локалізованих всередині квантової точки.

Ключові слова: деформаційний потенціал, теорія збурення форми квантової точки, рівняння механічної рівноваги, рівняння Шредінгера.

Стаття поступила до редакції 23.06.2015; прийнята до друку 15.09.2015.

Вступ

З сучасним розвитком нанотехнологій і фізики квантових наносистем виникає питання про вплив форми, розмірів квантових точок (КТ), що представляють собою область з трьохвимірним обмеженням об'єму, і якості гетеромежі на квантові стани як вільних, так і зв'язаних носіїв заряду. Відомо, що електронні характеристики напівпровідникових приладів в значній мірі залежать від властивостей інтерфейсів межі поділу між різними матеріалами в гетероструктурах. Наприклад, в гетероструктурах InAs/GaAs (CdTe/ZnTe) з КТ якості гетеромежі (квантова точка – матриця) визначають транспортні (рухливість, час життя нерівноважних носіїв заряду) характеристики носіїв заряду і оптичні властивості оптоелектронних приладів на КТ, оскільки наявність гетеромежі призводить до появи додаткового механізму розсіювання носіїв заряду на шорховатостях поверхні [1, 2].

Розробка методів контролю за станом інтерфейсів стала особливо актуальною після появи багат шарових гетероструктур, які створюються на основі технології молекулярно-променевої епітаксії (МВЕ). Найбільш простий і надійний спосіб оцінки якості гетеромежі – дослідження екситонної фотолюмінесценції (ФЛ), спектральна форма і ширина смуг якої, дуже чутливі до відхилень гетеромеж від планарних [3]. Результати численних робіт, що спираються в основному на технології молекулярно-променевої епітаксії (МВЕ), показали,

що розупорядкування гетеромежі викликає неоднорідне збільшення ширини смуг екситонної ФЛ [3-6]. У найбільш якісних структурах амплітуда флуктуації (dR_0), що виникла в результаті розупорядкування латерального розміру КТ (R_0) не перевищує одного атомного шару. Недоліком оптичного методу є неможливість оцінити поздовжні розміри неоднорідностей на гетеромежі і основний тип розсіювання.

В роботі [7] пропонується новий метод оцінки якості поверхні гетеромежі шляхом аналізу спектрів циклотронного резонансу (ЦР). Він дозволяє оцінити поздовжні розміри неоднорідностей на гетеромежі і тип розсіювання в наногетероструктурі. Зокрема, у випадку короткодючого розсіювання, форма лінії ЦР має характерні особливості у вигляді квантових осциляцій [8].

Теоретичне дослідження впливу розмірів, форми КТ і якості напруженої гетеромежі на електронні властивості наногетеросистеми пов'язане з проблемою знаходження розв'язку задачі про потенційній ямі довільної просторової форми, і задачею про деформацію матеріалу КТ і матриці. Зокрема, в роботі [9] запропоновано функціональний метод теорії збурення форми поверхні наносфери та проаналізовано вплив деформації форми сферичного нанооб'єкта на квантові стани носіїв заряду в ньому. Цей метод, на відміну від відомих [10-14] базується на розкладанні квантових величин в функціональний ряд по варіації форми поверхні нанооб'єктів, а не

енергії. Слід зауважити, що задача [9] була розв'язана для окремо взятого наноб'єкта без врахування матриці і деформації ґратки матеріалу квантової точки з потенційною ямою з нескінченно високими стінками.

У даній роботі на основі функціонального методу теорії збурення форми поверхні з врахуванням рівняння механічної рівноваги досліджено вплив деформованої гетеромежі і аксіально-симетричного збурення форми сферичної квантової точки на квантово-механічні стани зарядів, локалізованих всередині неї.

I. Модель напруженої наногетеросистеми InAs/GaAs з неоднорідно-деформованою гетеромежею КТ-матриця

Розглядається гетеросистема InAs/GaAs з когерентно-напруженими КТ InAs із збуреною формою у вигляді аксіально-симетричної поверхні. Таке збурення зумовлене як флуктуацією товщини квантової ями, так і анізотропією сталих пружності матеріалів КТ і матриці. Збурення форми сферичного наноб'єкта з врахуванням неоднорідно-деформованої гетеромежі описується рівнянням

$$\tilde{R}(q) = R(q) + u_r^{(1)}(R(q), q), \quad (1)$$

де $R(q) = R_0 \sqrt{1 + p^2 \cos^g(kq)}$; g, k, p – параметри, від значень яких залежать величина і вид варіації сферичної форми; q – кут між радіусом-вектором, наведеним з початку координат до точки на поверхні і віссю Z (рис. 1); $u_r^{(1)}(R(q), q)$ – радіальна

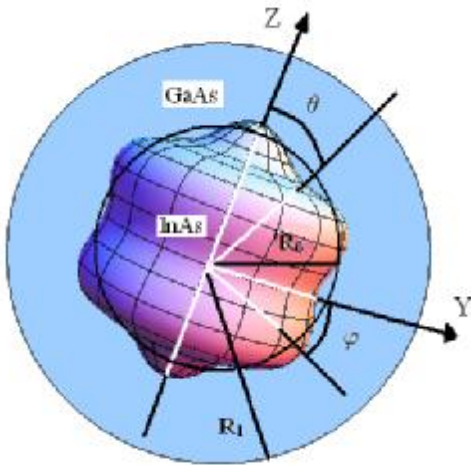


Рис. 1. Деформований сферичний наноб'єкт з рівнянням поверхні

$$\tilde{R}(q) = R_0 \sqrt{1 + p^2 \cos^g(kq)} + u_r^{(1)}(R(q), q),$$

який знаходиться в матриці R_1 з параметрами

$$p^2 = 0.2; g = 2; k = 3.$$

компонента вектора зміщення атомів. Щоб звести задачу з великою кількістю КТ до задачі з одною КТ, зроблено наступне наближення. Енергію попарної пружної взаємодії КТ замінено енергією взаємодії кожної КТ з усередненим полем пружної деформації $S_{ef}(N-1)$ всіх інших КТ $(N-1)$. Оскільки постійна ґратки матеріалу InAs більша, ніж матриці GaAs, то при гетероепітаксії в межах псевдоморфного росту InAs на GaAs матеріал InAs піддається деформації стиску, а GaAs – деформації розтягу. Тому неоднорідно-деформовану сферичну КТ можна представити пружним дилатаційним нановключенням з радіусом $R(q)$, поміщеним в порожнину матриці GaAs радіусом R_1 . Об'єм порожнини менший від об'єму наноб'єкта на ΔV [15].

Для визначення компонент тензора деформації використовували рівняння механічної рівноваги [16]

$$\nabla \text{div} \mathbf{u} = 0, \quad (2)$$

з наступними граничними умовами:

$$\begin{cases} 4pR^2(q) \left(u_r^{(2)}|_{r=R(q)} - u_r^{(1)}|_{r=R(q)} \right) = \Delta V, \\ S_{rr}^{(1)}|_{r=R(q)} = S_{rr}^{(2)}|_{r=R(q)} - P_L, & P_L = \frac{2a}{R(q)}, \\ S_{rr}^{(2)}|_{r=R_1} = -S_{ef}(N-1), \end{cases} \quad (3)$$

де $u_r^{(i)}$ – радіальна компонента зміщення атомів в і-тому напівпровідниковому матеріалі, P_L – лапласівський тиск; α – міжфазна вільна енергія між матеріалом КТ InAs та матриці GaAs, яка згідно роботи [17] визначається:

$$a = \frac{\int_0^{R_1} r^{(i)} c_l^{(i)} e^{(i)2}(r) r^2 dr}{2pR_0 u_r^{(1)}(R_0)}.$$

Різниця об'ємів

пружного дилатаційного мікротелесця і порожнини в матриці GaAs дорівнює

$$\Delta V = 4pR^3(q) f, \quad \text{де } f = \frac{a^{(1)} - a^{(2)}}{a^{(1)}} \approx 7\% - \text{параметр}$$

невідповідності постійних ґраток матеріалу КТ InAs і матриці GaAs.

Розв'язок рівняння (2) має вигляд:

$$u_r^{(i)}(r, q) = C_1^{(i)}(q) r + \frac{C_2^{(i)}(q)}{r^2}, \quad i = \begin{cases} 1 \equiv \text{InAs} \\ 2 \equiv \text{GaAs} \end{cases} \quad (4)$$

Поле зміщень визначають наступні компоненти тензора деформації:

$$e_{rr}^{(1)}(r, q) = e_{\theta\theta}^{(1)}(r, q) = e_{\phi\phi}^{(1)}(r, q) = C_1^{(1)}(q), \quad (5)$$

$$e_{rr}^{(2)}(r, q) = C_1^{(2)}(q) - \frac{2C_2^{(2)}(q)}{r^3}, \quad (6)$$

$$e_{\theta\theta}^{(2)}(r, q) = e_{\phi\phi}^{(2)}(r, q) = C_1^{(2)}(q) + \frac{C_2^{(2)}(q)}{r^3}, \quad (7)$$

Механічні напруження в матеріалах квантової

точки $s_{rr}^{(1)}$ і матриці $s_{rr}^{(2)}$ дорівнюють:

$$s_{rr}^{(i)} = \frac{E_i}{(1+n_i)(1-2n_i)} \left[(1-n_i) e_{rr}^{(i)}(r, q) + n_i \left(e_{jj}^{(i)}(r, q) + e_{qq}^{(i)}(r, q) \right) \right], \quad (8)$$

де n_i – коефіцієнти Пуассона, E_i – модуль Юнга матеріалу КТ та оточуючої матриці. Коефіцієнти $C_1^{(1)}(q)$, $C_1^{(2)}(q)$, $C_2^{(2)}(q)$ знаходяться з розв'язку системи рівнянь (3) з урахуванням (4) – (8).

II. Спектр енергії носіїв заряду в наногетеросистемі з неоднорідно-деформованою гетеромережею квантова точка-матриця

Розглянемо задачу про вплив деформованої геометричної форми квантової точки на енергетичний спектр носіїв заряду всередині цього

нанооб'єкта, який знаходиться в матриці. При цьому скористаємося наближенням ефективної маси і будемо моделювати деформовану КТ скінченною потенціальною ямою з формою поверхні $S(e(r))$. Форму потенціальної ями можна отримати, варіюючи вигляд незбуреної поверхні $S_0(r)$ КТ [9] з врахуванням рівняння механічної рівноваги (2).

Спектр енергії $E(e^{(1)}(R_0, q), e^{(2)}(R_0, q))$ квазічастинки в деформованій потенціальній ямі з аксіально-симетричним збуренням форми сферичної КТ, знаходимо на основі функціонального методу збурення форми поверхні нанооб'єкта [9]

$$E(e^{(1)}(R_0, q), e^{(2)}(R_0, q)) \approx E_{nl}^0(e^{(1)}(R_0), e^{(2)}(R_0)) \left[1 - \frac{d\tilde{R}^2(e^{(1)}(R_0, q))}{R_0^2} \right], \quad (9)$$

де $d\tilde{R}^2(e^{(1)}(R_0, q)) = \tilde{R}^2(q) - R_0^2$;
 $e^{(i)}(R_0, q) = \text{Spe}^{(i)}(R_0, q)$; $E_{nl}^0(e^{(1)}(R_0), e^{(2)}(R_0))$
 – спектр енергії квазічастинки в деформованій

квантовій точці з незбуреною поверхнею знаходиться з розв'язку рівняння Шредінгера спільно з рівнянням механічної рівноваги (2)

$$\mathcal{H}_{e,h}^0 Y_{nl}^0(r, q, j) = E_{nl}^0(e^{(1)}(R_0, q), e^{(2)}(R_0, q)) Y_{nl}^0(r, q, j), \quad (10)$$

з гамільтоніаном

$$\mathcal{H}_{e,h}^0 = -\frac{\hbar^2}{2} \frac{\mathbf{r}}{m_{(e,h)}^{(i)}} \frac{1}{\nabla} \frac{\mathbf{r}}{\nabla} + \mathcal{U}_{(e,h)}(r), \quad (11)$$

де $\mathcal{U}_{(e,h)}(r)$ – потенціальна енергія квазічастинки в напруженій наногетеросистемі InAs/GaAs з деформованими сферичними КТ InAs

$$\mathcal{U}_{(e,h)}(r) = \begin{cases} 0, \\ \Delta E_{c,u}(0) - |a_{c,u}^{(1)} e^{(1)}(r)| - |a_{c,u}^{(2)} e^{(2)}(r)|, \\ 0 \leq r \leq R_0, \\ R_0 \leq r \leq R_1, \end{cases} \quad (12)$$

де $m_{(e,h)}^{(i)}$ – ефективні маси електрона і дірки;

$\Delta E_{c,u}(0)$ – глибина потенційної ями для електрона і дірки в ненапруженій квантовій точці; $a_c^{(i)}$, $a_u^{(i)}$ – константи гідростатичного деформаційного потенціалу зони провідності і валентної зони i -того матеріалу, відповідно.

Зокрема, енергія основного E_{10}^0 і збудженого станів E_{11}^0 електрона та дірки в сферичній КТ є коренями наступних трансцендентних рівнянь:

$$\frac{m_{(e,h)}^{(2)}}{m_{(e,h)}^{(1)}} \left[1 - k_{1(e,h)} R_0 \cdot ctg(k_{1(e,h)} R_0) \right] = \frac{1 + k_{2(e,h)} R_0 + e^{2k_{2(e,h)}(R_0 - R_1)} \cdot (k_{2(e,h)} R_0 - 1)}{1 - e^{2k_{2(e,h)}(R_0 - R_1)}} \cdot \frac{\frac{tg(k_{1(e,h)} R_0)}{k_{1(e,h)} R_0} - 1}{2 + \left(k_{1(e,h)} R_0 - \frac{2}{k_{1(e,h)} R_0} \right) tg(k_{1(e,h)} R_0)} =$$

$$= \frac{m_{(e,h)}^{(2)}}{m_{(e,h)}^{(1)}} \cdot \frac{1 + k_{2(e,h)} R_0 - (1 - k_{2(e,h)} R_0) \exp(2k_{2(e,h)}(R_0 - R_1))}{\left(1 + (1 - k_{2(e,h)} R_0)^2 \right)^{\frac{1 + k_{2(e,h)} R_1}{1 - k_{2(e,h)} R_1}} \exp(2k_{2(e,h)}(R_0 - R_1)) - \left(1 + (1 + k_{2(e,h)} R_0)^2 \right)^2}$$

де $k_{1(e,h)}^2 = \frac{2m_{(e,h)}^{(1)}}{\hbar^2} E_{nl}^0(e^{(1)}(R_0), e^{(2)}(R_0))$, $k_{2(e,h)}^2 = \frac{2m_{(e,h)}^{(2)}}{\hbar^2} (U_{(e,h)}(r) - E_{nl}^0(e^{(1)}(R_0), e^{(2)}(R_0)))$, $n = 1, 3, 5, \dots$

Коли системи координат, в яких описуються рух квазічастинки і форма поверхні квантової точки збігаються, то кут θ ($q \equiv \hat{r}^z$) можна розглядати як кут між вектором моменту кількості руху квазічастинки і виділеним напрямком у просторі. Тоді кут θ у виразах для квантових величин квазічастинки повинен квантуватися

$\cos^2 q_{lm} = \frac{m^2}{l(l+1)}$, де l, m – орбітальне і магнітне квантові числа квазічастинки, відповідно.

З урахуванням останнього виразу, формула (9) набуде вигляду

$$E_{nlm} = E_{nl}^0(e^{(1)}(R_0), e^{(2)}(R_0)) \left\{ 1 - p^2 \left[4 \left(\frac{m^2}{l(l+1)} \right)^{\frac{3}{2}} - 3 \left(\frac{m^2}{l(l+1)} \right)^{\frac{1}{2}} \right]^2 \right\}, \quad (13)$$

Як видно із співвідношення (13), знімається енергетичне виродження по квантовому числу m . Це пов'язано з пониженням симетрії форми квантової точки, тобто з переходом від сферичної симетрії до

аксіальної. Поправки першого порядку малості до хвильових функцій у квантовій точці і матриці запишуться у вигляді:

$$\Delta \Psi_{nlm}^1(r, q, j) + k_1^2 \Psi_{nlm}^1(r, q, j) = - \frac{2m^{(1)} \Delta E_{nlm}^1}{\hbar^2} y_{nl}^{0(1)}(r, q, j), \quad 0 \leq r \leq R(q), \quad (14)$$

$$\Delta \Psi_{nlm}^2(r, q, j) + k_2^2 \Psi_{nlm}^2(r, q, j) = - \frac{2m^{(2)} \Delta E_{nlm}^1}{\hbar^2} y_{nl}^{0(2)}(r, q, j) \quad R(q) \leq r \leq R_1,$$

де $\Psi_{nl}^{0(i)}(r, q, j) = \begin{cases} R_{nl}^{(1)}(r) Y_{lm}, & 0 \leq r \leq R_0 \\ R_{nl}^{(2)}(r) Y_{lm}, & R_0 \leq r \leq R_1 \end{cases}$,

$\Delta E_{nlm}^1 = E_{nlm} - E_{nl}^0(e^{(1)}(R_0), e^{(2)}(R_0))$ – поправка першого порядку малості для енергії.

Використовуючи метод функції Гріна можна знайти розв'язок задачі (14). Рівняння для функцій Гріна задачі (14) мають такий вигляд:

$$\begin{aligned} \Delta G_1(r, r) + k_1^2 G_1(r, r) &= -d(r - r), & \Delta G_2(r, r) + k_2^2 G_2(r, r) &= -d(r - r), \\ G_1(r, r)|_{r=R(q)} &= G_2(r, r)|_{r=R(q)}. \end{aligned} \quad (15)$$

Функція Гріна з початком в центрі кулі, для областей всередині і зовні нанооб'єкта представляється у вигляді:

$$\begin{aligned} G_1(r, r) &= \frac{1}{4p} \left[\frac{\exp\{-ik_1|\mathbf{r}-\mathbf{r}'|\}}{|\mathbf{r}-\mathbf{r}'|} - \frac{\exp\left\{-ik_1\left|\mathbf{r}+\mathbf{r}'-2R(q)\frac{\mathbf{r}}{r}\right|\right\}}{\left|\mathbf{r}+\mathbf{r}'-2R(q)\frac{\mathbf{r}}{r}\right|} \right], & 0 \leq r \leq R(q), \\ G_2(r, r) &= \frac{1}{4p} \left[\frac{\exp\{-ik_2|\mathbf{r}-\mathbf{r}'|\}}{|\mathbf{r}-\mathbf{r}'|} - \frac{\exp\left\{-ik_2\left|\mathbf{r}+\mathbf{r}'-2R(q)\frac{\mathbf{r}}{r}\right|\right\}}{\left|\mathbf{r}+\mathbf{r}'-2R(q)\frac{\mathbf{r}}{r}\right|} \right], & R(q) \leq r \leq R_1 \end{aligned} \quad (16)$$

Використаємо наступний розклад [18]

$$\frac{\exp\{-ik|\mathbf{r}-\mathbf{r}'|\}}{|\mathbf{r}-\mathbf{r}'|} = -k \sum_{l=0}^{\infty} (2l+1) \begin{cases} j_l(-k \cdot r) h_l(-k \cdot r) P_l(\cos g), & r < r' \\ j_l(-k \cdot r) h_l(-k \cdot r) P_l(\cos g), & r > r' \end{cases} \quad (17)$$

$$P_l(\cos g) = \frac{4p}{2l+1} \sum_{m=-l}^l Y_{lm}(q, j) Y_{lm}^*(q_1, j_1), \quad g = \mathbf{r} \wedge \mathbf{r}'.$$

З врахуванням виразу (17) функція Гріна в сферичних координатах запишеться:

$$G_i(r, r, q, j, q_1, j_1) = \frac{1}{4p} \left[-k_i \sum_{l=0}^{\infty} \sum_{m=-l}^l 4p \begin{cases} j_l(-k_i \cdot r) h_l(-k_i \cdot r) Y_{lm}(q, j) Y_{lm}^*(q_1, j_1), & r < r' \\ j_l(-k_i \cdot r) h_l(-k_i \cdot r) Y_{lm}(q, j) Y_{lm}^*(q_1, j_1), & r > r' \end{cases} \right] \quad (18)$$

Тоді, хвильова функція квазічастинки у неоднорідно-деформованому сферичному нанооб'єкті, що знаходиться в матриці запишеться в наступному вигляді:

$$\begin{aligned} \psi_{nlm}^1(r, q, j) &= c_1 \int_0^r \int_0^r \left[\int_0^r G_1(r, r, q, j, q_1, j_1) + \int_r^{R(q)} G_1(r, r, q, j, q_1, j_1) \right] \psi_{nl}^{0(1)}(r, q_1, j_1) r^2 \sin q_1 dr dq_1 dj_1 \times \\ &+ c_2 \int_0^r \int_0^{R(q)} \left[\int_0^r G_2(r, r, q, j, q_1, j_1) + \int_r^{R_1} G_2(r, r, q, j, q_1, j_1) \right] \psi_{nl}^{0(2)}(r, q_1, j_1) r^2 \sin q_1 dr dq_1 dj_1, \end{aligned} \quad (19)$$

де $c_i = -\frac{2m^{(i)} \Delta E_{nlm}^1}{\hbar^2}$.

III. Результати розрахунків та їх обговорення

Тут приведено числові результати теоретичних досліджень спектра енергії електрона E_{nlm} у неоднорідно-деформованій скінченній потенціальній ямі і квадратів модулів хвильових функцій квантово-розмірних станів частинки $\psi_{nlm}^0(r, q, j)$, а також поправки першого порядку до цих хвильових функцій $\psi_{n,l,m}^1(r, q, j)$ у неоднорідно-деформованому сферичному нанооб'єкті, що знаходиться в матриці.

Розрахунки проведено для наногетеросистеми InAs/GaAs з напруженими КТ InAs при наступних

значеннях параметрів [16]: $R_0 = 100 \text{ \AA}$, $R_1 = 500 \text{ \AA}$,
 $a_c^{(1)} = -5,08 \text{ eV}$, $a_c^{(2)} = -7,17 \text{ eV}$, $a^{(1)} = 6,8 \text{ \AA}$,
 $a^{(2)} = 5,65 \text{ \AA}$, $m^{(1)} = 0,057 m_0$, $m^{(2)} = 0,065 m_0$,
 $a = 0,657 \text{ H/\AA}$, $\Delta E_c(0) = 0,83 \text{ eV}$. Енергія відраховується від дна потенціальної ями, створеної механічно-напруженою квантовою точкою.

На рис. 2 приведені результати числових розрахунків залежностей енергії електрона в основному і в першому збудженому станах від розміру КТ InAs в деформованій потенціальній ямі: із збуренням сферичної форми КТ (рис. 2, крива 1 - $n=1; l=0; m=0$; крива 1' - $n=1; l=1; m=\pm 1$); без збурення сферичної форми КТ (рис. 2, крива 1'' - $n=1; l=1; m=0$); і в недеформованій потенціальній ямі: із збуренням сферичної форми КТ (рис. 2, крива 2 - $n=1; l=0; m=0$; кривая

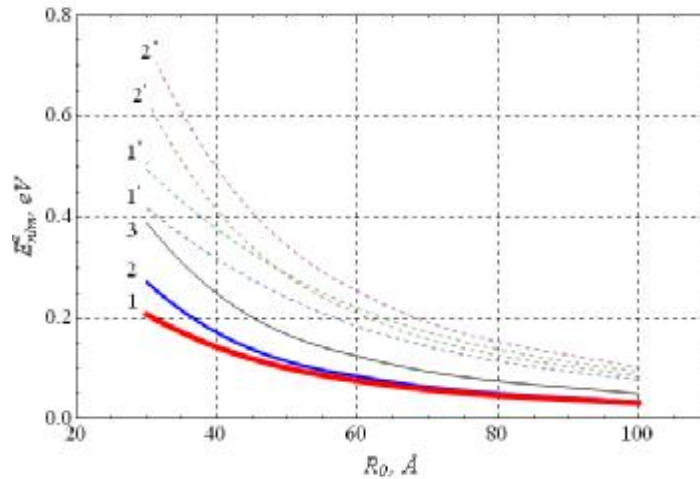


Рис. 2. Спектр енергії електрона в квантовій точці: а) з аксіально-симетричним збуренням її форми: 1, 1' – з врахуванням деформації матеріалу КТ в основному E_{100}^0 і в першому збудженому E_{111}^0 станах, відповідно; 2, 2' – без врахування деформації матеріалу КТ в основному E_{100}^0 і в першому збудженому E_{111}^0 станах, відповідно; б) без аксіально-симетричного збурення її форми: 1'' – з врахуванням деформації матеріалу КТ в першому збудженому стані E_{110}^0 ; 3, 2'' – без врахування деформації матеріалу КТ в основному E_{100}^0 і в першому збудженому E_{110}^0 станах, відповідно.

2' – $n=1; l=1; m=\pm 1$); без збурення сферичної форми КТ (рис. 2, крива 3 – $n=1; l=0; m=0$; крива 2'' – $n=1; l=1; m=0$).

Як видно (рис. 2) енергія електрона монотонно спадає із збільшенням розміру R_0 КТ, тобто енергетичні рівні зсуваються в довгохвильову область спектра, а енергетична відстань між ними зменшується. Величина енергії зростає із збільшенням квантових чисел l і m відносно основного стану. Слід відмітити, що збурення сферичної форми КТ, що знаходиться в матриці призводить до зменшення енергії електрона в основному стані E_{100}^0 у неоднорідно-деформованій скінченній потенціальній ямі (крива - 1) відносно енергії E_{100}^0 у недеформованій скінченній потенціальній ямі (крива - 2) на 132 меВ при $R_0 = 30 \text{ Å}$, а при $R_0 = 100 \text{ Å}$ – 10 меВ. Це пов'язано з тим, що деформаційний потенціал зменшує глибину потенційної ями в КТ. Зокрема, енергія першого збудженого стану електрона в деформованій потенціальній ямі в КТ (крива 1') з аксіально-симетричним збуренням її форми є меншою відносно енергії збудженого стану електрона E_{111}^0 у недеформованій скінченній потенціальній ямі (крива

2') на 385 меВ при $R_0 = 30 \text{ Å}$, а при $R_0 = 100 \text{ Å}$ – 15 меВ. У випадку відсутності аксіально-симетричного збурення форми КТ характер функціональної залежності енергетичних рівнів першого збудженого стану від R_0 як з деформацією матеріалу КТ, так і без деформації зберігається такий же як і з аксіально-симетричним збуренням форми.

Збурення сферичної форми КТ понижує енергію збудженого стану E_{110}^0 електрона в деформованій потенціальній ямі до енергії збудженого стану E_{111}^0 електрона в сферичній КТ (криві 1', 1''). Крім цього, рівень енергії електрона E_{110}^0 в деформованій потенціальній ямі з незбуреною сферичною формою КТ при $R_0 = 50 \text{ Å}$ переміщується з енергетичним рівнем електрона E_{111}^0 у недеформованій потенціальній ямі із збуреною сферичною формою КТ (криві 1'' і 2').

На рис. 3 представлені нормовані на максимальне значення квадрати модулів хвильових функцій електрона $\psi_{n,l,m}^0$ в основному ($n=1, l=m=0$) і в першому збудженому ($n=1, l=1, m=0$) станах в сферичній деформованій КТ без збурення її форми

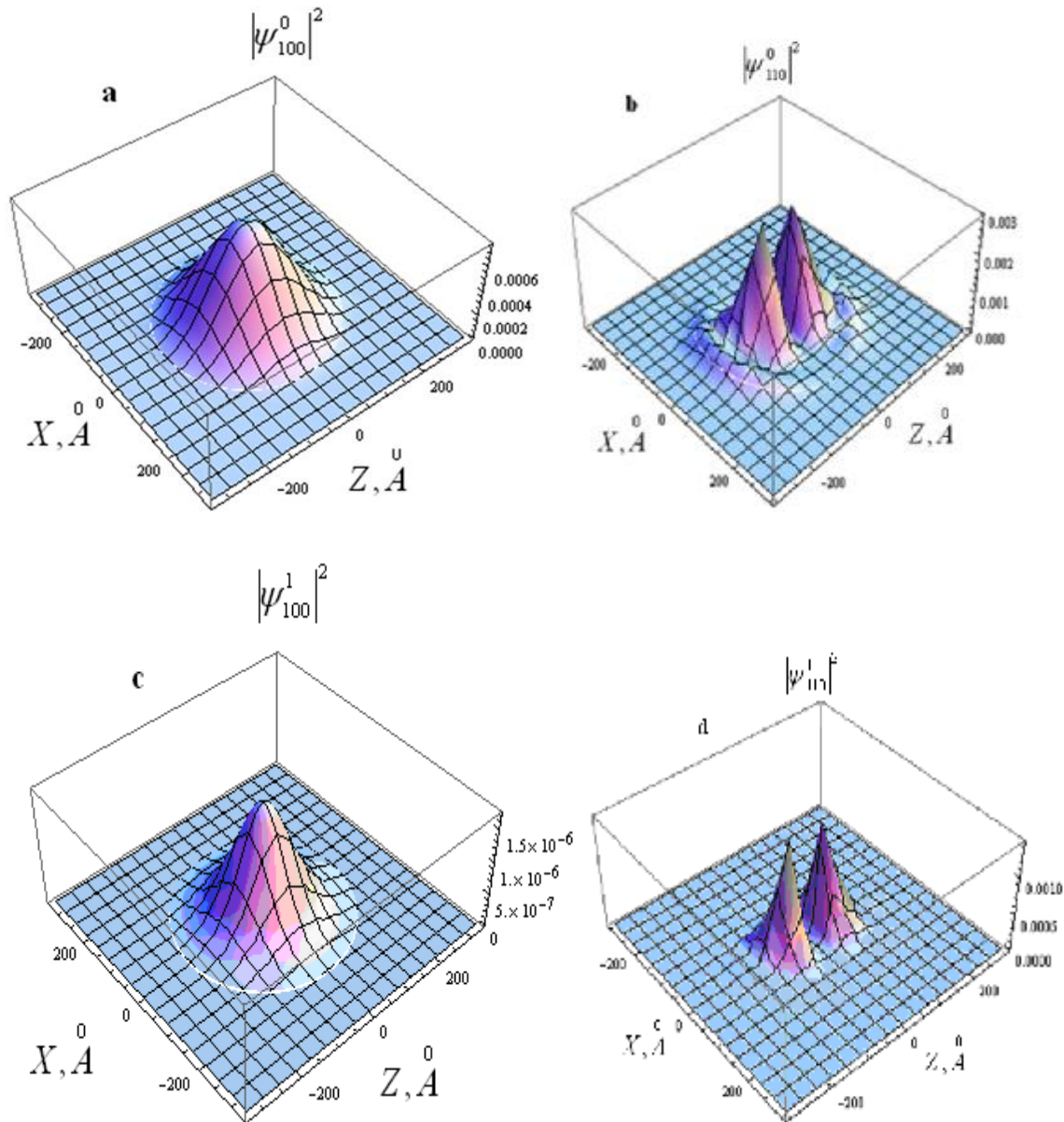


Рис. 3. Нормовані на максимальне значення квадрати модулів хвильових функцій квантово-розмірних станів електрона в КТ: без збурення сферичної форми КТ в основному ψ_{100}^0 (а) і в першому збудженому ψ_{110}^0 станах (б), а також поправки першого порядку ψ_{100}^1 , ψ_{110}^1 до цих хвильових функцій – 3с, 3д, відповідно.

(3а, 3б-відповідно), а також поправки першого порядку до цих хвильових функцій електрона $\psi_{n,l,m}^1$ (3с, 3д) в деформованій КТ із збуреною формою (формула (1)). Відхилення форми від сферичної приводить до перерозподілу густини ймовірності локалізації електрона всередині КТ, а взаємодія КТ з матрицею до зменшення ймовірності локалізації електрона в КТ.

Хвильова функція квазічастинки у неоднорідно-деформованому сферичному наноб'єкті, що знаходиться в матриці, чутлива як до збурення форми поверхні наноб'єкта, так і до деформації його матеріалу. Зміна густини ймовірності локалізації

квазічастинки буде проявлятися на оптичних, фотолюмінісентних, контактних і поверхневих властивостях наногетероструктур.

Висновки

1. Показано, що енергія електрона в основному і в першому збудженому станах у неоднорідно-деформованій скінченній потенціальній ямі КТ з аксіально-симетричним спотворенням її форми є меншою ніж енергія електрона у недеформованій скінченній потенціальній ямі з таким же спотворенням її форми.

2. Установлено, що енергія електрона в основному і в першому збудженому стані в деформованій скінченній потенціальній ямі КТ з аксіально-симетричним спотворенням її форми є меншою ніж енергія електрона в сферичній КТ.
3. Показано, що перший збуджений рівень енергії електрона E_{110} у деформованій потенціальній ямі з незбуреною сферичною формою КТ при $R_0 = 50 \text{ \AA}$ переміщується з першим збудженим енергетичним рівнем E'_{111} електрона в недеформованій потенціальній ямі з незбуреною сферичною формою КТ.
4. Встановлено, що аксіально-симетричне збурення сферичної форми квантової точки InAs і деформація її матеріалу приводять до перерозподілу густини ймовірності локалізації електрона в КТ, а електрон-деформаційна взаємодія КТ з матрицею InAs/GaAs приводить до суттєвого зменшення густини ймовірності локалізації електрона в КТ.

Пелешак Р.М. - доктор фізико-математичних наук, професор, завідувач кафедри загальної фізики;
Кулик Н.Я. – аспірант.

- [1] H. Sakaki, T. Noda, K. Hirakawa, M. Tanaka and T. Matsusue, Applied Physics Letters 51, 1934 (1987).
- [2] I. Vurgaftman and J.R. Meyer, Phys.Rev. B60, 14294 (1999).
- [3] P.S. Kop'ev, I.N. Ural'cev, D.R. Jakovlev, Al.L. Jefros, A.V. Vinokurova FTP 22, 424 (1988).
- [4] H. Kalt, J. Collet, S.D. Baranovskii, Rosari Saleh, P. Thomas, Le Si Dang, and J. Cibert, Phys. Rev. B 45, 4253 (1992).
- [5] T. Taguchi, Y. Kawakami, Y. Yamada, Physica B: Condensed Matter. 191, 23 (1993).
- [6] N.N. Ledencov, S.V. Ivanov, V.M.Maksimov ta in. FTP 29, 65 (1995).
- [7] Ju.B. Vasil'ev, S.D. Suchalkin, S.V. Ivanov ta in. FTP 31(10), 1246 (1997).
- [8] T. Ando, J.Phys. Soc. Japan. 38, 989 (1975).
- [9] V.P. Dzjuba, Ju.N. Kul'chin, V.A. Milichko FTT 56(2), 355 (2014).
- [10] F.M. Mors, G. Feshbah, Metody teoreticheskoy fiziki (1958), Tom 1.
- [11] A.B. Shmelev, UFN 106, 450 (1972).
- [12] L.D. Landau, E.M. Lifshic, Kvantovaja mehanika (Fizmatlit, Moskva, 2002).
- [13] Al.L. Efros, A.V. Rodina, Phys. Rev. B 47, 10005 (1993).
- [14] A.B. Migdal, Kachestvennye metody v kvantovoj teorii (Nauka, Moskva, 1975).
- [15] R.M. Peleshhak, N.Ja. Kulik, UFZh 59(11), 1099 (2014).
- [16] B.V. Novikov, G.G. Zegrja, R.M. Peleshhak ta in. FTP 42(9), 1094 (2008).
- [17] R.M. Peleshhak, O.O. Dan'kiv, O.V. Kuzik UFZh 56(4), 346 (2011).
- [18] A.Messija, Kvantovaja mehanika, Tom 1. (1978).